

Ευθυγράμμιση sm2 δίχως αντιστοιχίσεις, υπό χρονικούς περιορισμούς

Πρόβλημα:

Κατασκευή h : sm2 χωρίς αντιστοιχίσεις, δεδομένων:

- Πραγματική σάρωση $\mathcal{S}_R(\mathbf{p})$: $\text{FOV} = 360^\circ$
- Χάρτης \mathbf{M} του περιβάλλοντος
- Εκτίμηση $\hat{\mathbf{p}}(\hat{\mathbf{l}}, \hat{\theta})$
- Η εκτίμηση θέσης $\hat{\mathbf{l}} = (\hat{x}, \hat{y})$ είναι σε μία γειτονιά της $\mathbf{l} = (x, y)$

τέτοιιας ώστε

$$(\Sigma 1) \quad \hat{\mathbf{p}}' \leftarrow h(\mathcal{S}_R, \mathbf{M}, \hat{\mathbf{p}}):$$

$$\|\hat{\mathbf{p}}' - \mathbf{p}\| < \|\hat{\mathbf{p}} - \mathbf{p}\|$$

$$(\Sigma T) \quad f_{\text{exec}}(h) \geq f_{\text{exec}}(\mathbf{pf})$$

Αποσύνθεση προβλήματος

- Εκτίμηση θέσης $l(x, y)$ όταν $\hat{\theta} = \theta$
- Εκτίμηση προσανατολισμού θ όταν $\hat{l} = l$

Εκτίμηση θέσης όταν $\hat{\theta} = \theta$

$$\hat{\boldsymbol{l}}[k+1] = \hat{\boldsymbol{l}}[k] + \boldsymbol{u}[k]$$

$$\boldsymbol{u}[k] = \frac{1}{N_s} \begin{bmatrix} \cos \hat{\theta} & \sin \hat{\theta} \\ \sin \hat{\theta} & -\cos \hat{\theta} \end{bmatrix} \begin{bmatrix} X_{1,r}(\mathcal{S}_R, \mathcal{S}_V | \hat{\boldsymbol{p}}[k]) \\ X_{1,i}(\mathcal{S}_R, \mathcal{S}_V | \hat{\boldsymbol{p}}[k]) \end{bmatrix}$$

$$\begin{aligned} X_1(\mathcal{S}_R, \mathcal{S}_V | \hat{\boldsymbol{p}}[k]) &= X_{1,r}(\mathcal{S}_R, \mathcal{S}_V | \hat{\boldsymbol{p}}[k]) + i \cdot X_{1,i}(\mathcal{S}_R, \mathcal{S}_V | \hat{\boldsymbol{p}}[k]) \\ &= \sum_{n=0}^{N_s-1} (\mathcal{S}_R[n] - \mathcal{S}_V[n] | \hat{\boldsymbol{p}}[k]) \cdot e^{-i \frac{2\pi n}{N_s}} \end{aligned}$$

Εκτίμηση θέσης όταν $\hat{\theta} = \theta$

- Όταν $\sigma_R = 0.0$ και $\mathbf{M} \equiv W$ τότε:
 $\hat{l}[k]$ συγκλίνει ομοιόμορφα ασυμπτωτικά στην πραγματική θέση l καθώς $k \rightarrow \infty$
- Όταν $\sigma_R > 0.0$ ή/και $\mathbf{M} \neq W$ τότε:
 $\hat{l}[k]$ φράσσεται ομοιόμορφα σε γειτονιά της πραγματικής θέσης l όταν $k \geq k_0$

Εκτίμηση προσανατολισμού όταν $\hat{l} = l \text{ (rc_x1—1/3)}$

$$\hat{\theta}[k+1] = \hat{\theta}[k] + \angle \mathcal{F}_1\{\mathcal{S}_R\} - \angle \mathcal{F}_1\{\mathcal{S}|_{\hat{p}[k]}\}$$

Επίλοιπο σφάλμα:

$$\phi = \angle \mathcal{F}_1\{\mathcal{S}_V\} - \tan^{-1} \frac{|\mathcal{F}_1\{\mathcal{S}_V\}| \sin(\angle \mathcal{F}_1\{\mathcal{S}_V\}) - \textcolor{red}{N}_s |\delta| \sin(\hat{\theta} + \angle \delta)}{|\mathcal{F}_1\{\mathcal{S}_V\}| \cos(\angle \mathcal{F}_1\{\mathcal{S}_V\}) - \textcolor{red}{N}_s |\delta| \cos(\hat{\theta} + \angle \delta)}$$

Εκτίμηση προσανατολισμού όταν $\hat{l} = l$ (rc_uf—2/3)

$$\hat{\theta}' = \hat{\theta} + \xi\gamma, \text{ όπου}$$

$$\xi \triangleq \arg \max \mathcal{F}^{-1} \left\{ \frac{\mathcal{F}\{\mathcal{S}_V\}^* \cdot \mathcal{F}\{\mathcal{S}_R\}}{|\mathcal{F}\{\mathcal{S}_V\}| \cdot |\mathcal{F}\{\mathcal{S}_R\}|} \right\}, \text{ και}$$

$$\gamma \triangleq \frac{2\pi}{N_s}$$

Επίλοιπο σφάλμα:

$$\phi \leq \frac{\gamma}{2}$$

Εκτίμηση προσανατολισμού όταν $\hat{l} = l$ (rc_fm—3/3)

Έστω

- $\mathbf{P}_R, \mathbf{P}_V$ οι προβολές των $\mathcal{S}_R, \mathcal{S}_V$ στο οριζόντιο επίπεδο
- $\mathbf{U}\mathbf{D}\mathbf{V}^\top = \text{svd}(\mathbf{P}_R\mathbf{P}_V^\top)$
- $\mathbf{S} = \text{diag}(1, \det(\mathbf{UV}))$

Τότε $\text{tr}(\mathbf{DS})$ είναι μέτρο ευθυγράμμισης ανάμεσα στα σύνολα $\mathbf{P}_R, \mathbf{P}_V$ και

$$\mathbf{R}^\star = \mathbf{USV}^\top = \arg \min_{\mathbf{R}} \|\mathbf{P}_R - \mathbf{R} \cdot \mathbf{P}_V\|_F^2$$

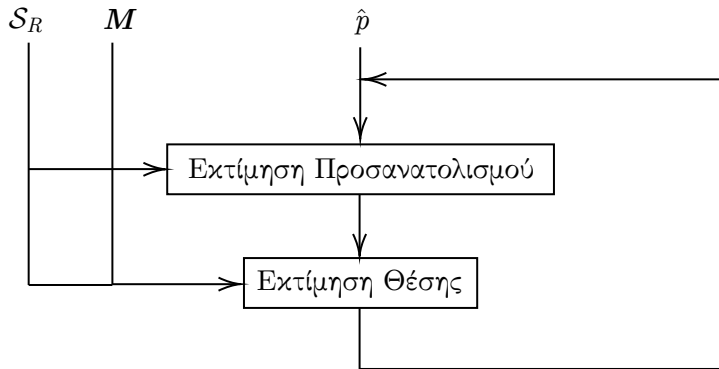
εάν θ γνωστή [1].

Όμως θ θεμελιωδώς άγνωστη \Rightarrow περιστροφή \mathbf{P}_V κατά $k \cdot \gamma$, $0 \leq k < N_s$.

Τότε εάν $\hat{\theta}' = \hat{\theta} + k^\star \gamma$, $k^\star = \arg \min_k \text{tr}(\mathbf{DS})$, το επίλοιπο σφάλμα:

$$\phi \leq \frac{\gamma}{2}$$

Το πρόβλημα του πεπερασμένου των ακτίνων: $\phi = f(N_s)$



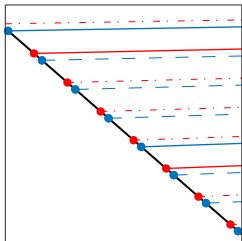
Υπερδειγματοληψία πραγματικής σάρωσης σε γραμμικές περιοχές ✓

$$\mathcal{S}_R^{-\text{interp}}(\theta) \quad \mathcal{S}_V^{-\text{interp}}(\hat{\theta})$$

Υπερδειγματοληψία πραγματικής σάρωσης σε μη γραμμικές περιοχές x

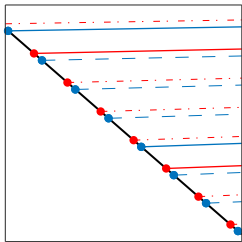
$$\mathcal{S}_R^{-\text{interp}}(\theta) \quad \mathcal{S}_V^{-\text{interp}}(\hat{\theta})$$

$$\mathcal{S}_R^{-\text{interp}}(\theta) \quad \mathcal{S}_V^{-\text{interp}}(\hat{\theta})$$

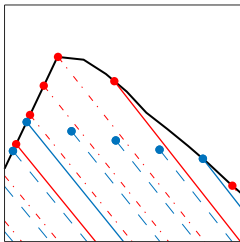


Λύση: Υπερδειγματοληψία του χάρτη \Rightarrow παραγωγή 2^ν εκτιμήσεων

$$\mathcal{S}_R^{-\text{interp}}(\theta) \quad \mathcal{S}_V^{-\text{interp}}(\hat{\theta})$$



$$\mathcal{S}_R^{-\text{interp}}(\theta) \quad \mathcal{S}_V^{-\text{interp}}(\hat{\theta})$$



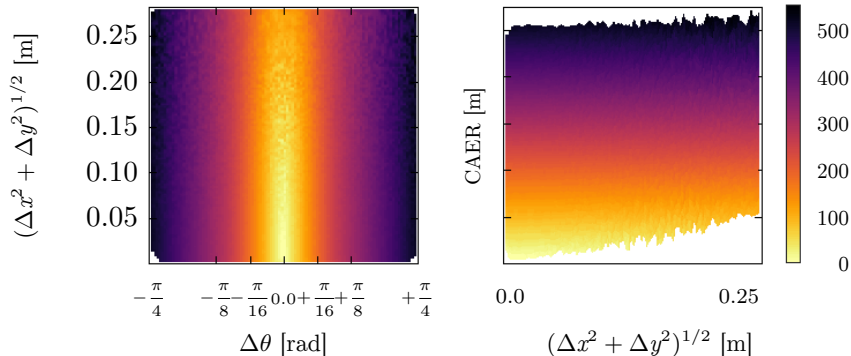
$$\mathcal{S}_R(\theta) \quad \mathcal{S}_V(\hat{\theta} + \{0 \dots 2^{\nu_{\max}} - 1\} \cdot \frac{\gamma}{2^{\nu_{\max}}})$$

$$\phi' = \frac{\phi}{2^{\nu_{\max}}} \leq \frac{\gamma}{2^{1+\nu_{\max}}}$$

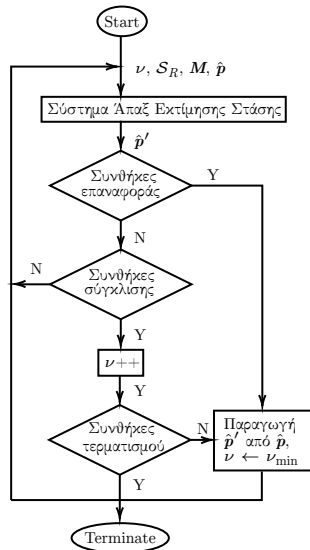
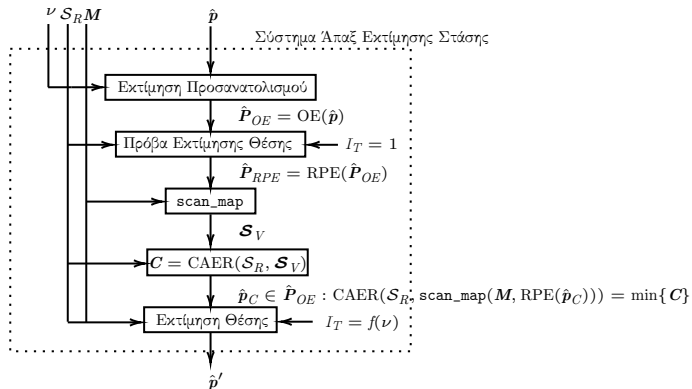
Ιεράρχηση σφαλμάτων εκτιμήσεων: η μετρική CAER*

* Cumulative Absolute Error per Ray

$$\text{CAER}(\mathcal{S}_R, \mathcal{S}_V) \triangleq \sum_{n=0}^{N_s-1} \left| \mathcal{S}_R[n]_{\hat{p}} - \mathcal{S}_V[n]_{\hat{p}} \right|$$



Το σύστημα fsm2



Πειραματική διαδικασία

Στόχοι:

$$(\Sigma 1) \quad \|\hat{\mathbf{p}}' - \mathbf{p}\| < \|\hat{\mathbf{p}} - \mathbf{p}\|$$

$$(\Sigma 2) \quad f_{\text{exec}}^{\text{fsm2}} \geq f_{\text{exec}}^{\text{pf}}$$

Πέντε benchmark περιβάλλοντα δοκιμής

Σύνολο δεδομένων D	Πληθικότητα
aces	7373
fr079	4933
intel	13630
mit_csail	1987
mit_killian	17479
$\sum D = 45402$	

Πίνακας: Πηγή: SLAM evaluation datasets, Dept. of Computer Science, University of Freiburg

Πειραματική διαδικασία

Στόχοι:

$$(Σ1) \quad \|\hat{\mathbf{p}}' - \mathbf{p}\| < \|\hat{\mathbf{p}} - \mathbf{p}\|$$

$$(Σ2) \quad f_{\text{exec}}^{\text{fsm2}} \geq f_{\text{exec}}^{\text{pf}}$$

Πέντε benchmark περιβάλλοντα δοκιμής

Σύνολο δεδομένων D	Πληθικότητα
aces	7373
fr079	4933
intel	13630
mit_csail	1987
mit_killian	17479
$\sum D = 45402$	

Πίνακας: Πηγή: Σύνολα δεδομένων αξιολόγησης SLAM, Τμήμα Επιστήμης των Υπολογιστών, Πανεπιστήμιο του Φράμπουργκ

Τυπική απόκλιση θορύβου μέτρησης και συντεταγμένων χάρτη

$$\sigma_R = \{0.01, 0.03, 0.05, 0.10, 0.20\} \text{ [m]}$$

$$\sigma_M = \{0.0, 0.05\} \text{ [m]}$$

Παραγωγή τυχαίων αρχικών συνθηκών σφάλματων στάσης

$$\Delta \hat{x}_0 \sim U(-0.20, +0.20) \text{ [m]}$$

$$\Delta \hat{y}_0 \sim U(-0.20, +0.20) \text{ [m]}$$

$$\Delta \hat{\theta}_0 \sim U(-\frac{\pi}{4}, +\frac{\pi}{4}) \text{ [rad]}$$

Συνολικός αριθμός ευθυγραμμίσεων ανά μέθοδο:

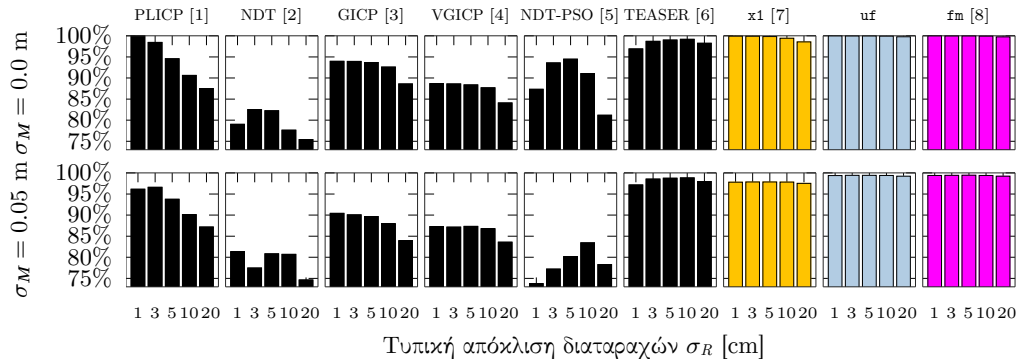
$$10 \times \sum |D| \times |\sigma_R| \times |\sigma_M| \simeq 4.5 \cdot 10^6$$

Μέγεθος σαρώσεων: $N_s = 360$

$$\nu \in (\nu_{\min}, \nu_{\max}) = (2, 5)$$

$$I_T = 1 + \nu$$

Ποσοστά επίτευξης στόχου Σ1



[1] A. Censi, “An ICP variant using a point-to-line metric”, *ICRA* 2008

[2] P. Biber, W. Strasser, “The normal distributions transform: a new approach to laser scan matching”, *IROS* 2003

[3] A. Segal, D. Hähnel, S. Thrun, “Generalized-ICP”, *Robotics: Science and Systems*, 2009

[4] K. Koide, M. Yokozuka, S. Oishi, A. Banno, “Voxelized GICP for Fast and Accurate 3D Point Cloud Registration”, *ICRA* 2021

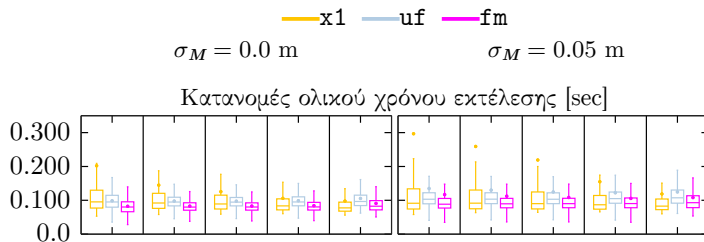
[5] S. Bouraine, A. Bougouffa, O. Azouaoui, “Particle swarm optimization for solving a scan-matching problem based on the normal distributions transform”, *Evolutionary Intelligence*, 2021

[6] H. Yang, J. Shi, L. Carlone, “TEASER: Fast and Certifiable Point Cloud Registration”, *IEEE Transactions on Robotics*, 2021

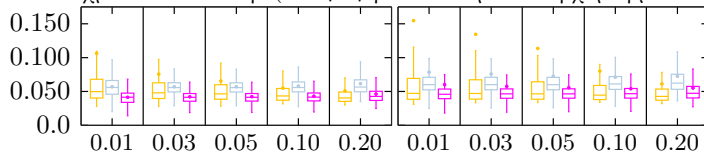
[7] A. Filotheou, A. Symeonidis, G. Sergiadis, A. Dimitriou, “Correspondenceless scan-to-map-scan matching of 2D panoramic range scans”, *Array*, Under review

[8] A. Filotheou, G. Sergiadis, A. Dimitriou, “FSM: Correspondenceless scan-matching of panoramic 2D range scans”, *IROS* 2022

Χρόνοι εκτέλεσης—Στόχος Σ2

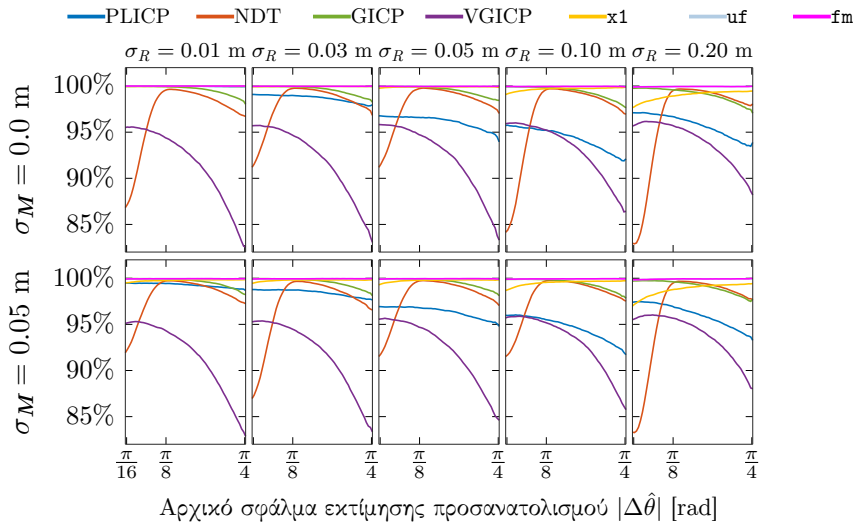


Κατανομές ολικού χρόνου εκτέλεσης (Αναγωγή σε αναπαράσταση χάρτη μέσω πλέγματος [1]) [sec]

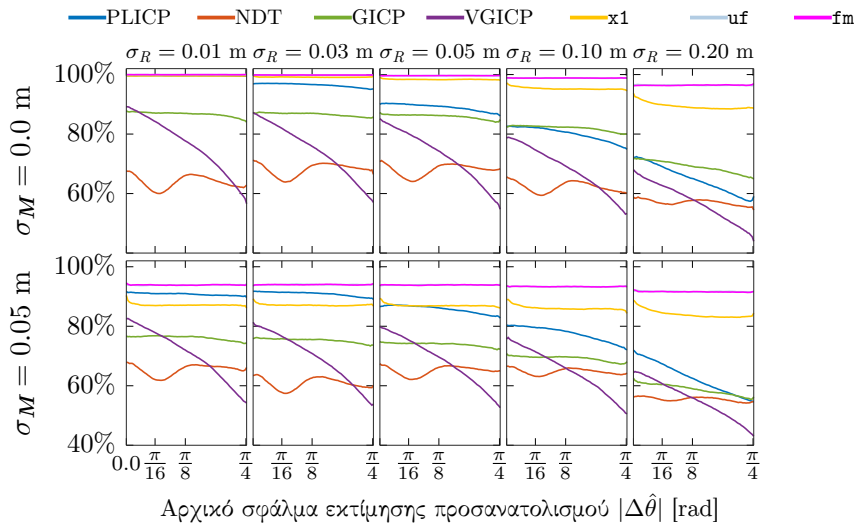


Τυπική απόκλιση διαταραχών σ_R [m]

Ποσοστά επίτευξης στόχου Σ1
 ως προς προσανατολισμό ανά μονάδα αρχικού σφάλματος εκτίμησης προσανατολισμού $|\Delta\hat{\theta}|$

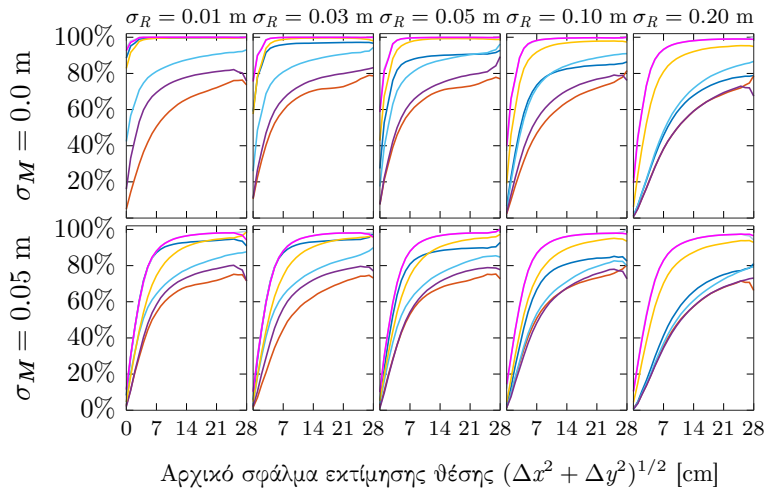


Ποσοστά επίτευξης στόχου Σ1
 ως προς θέση ανά μονάδα αρχικού σφάλματος εκτίμησης προσανατολισμού $|\Delta\hat{\theta}|$

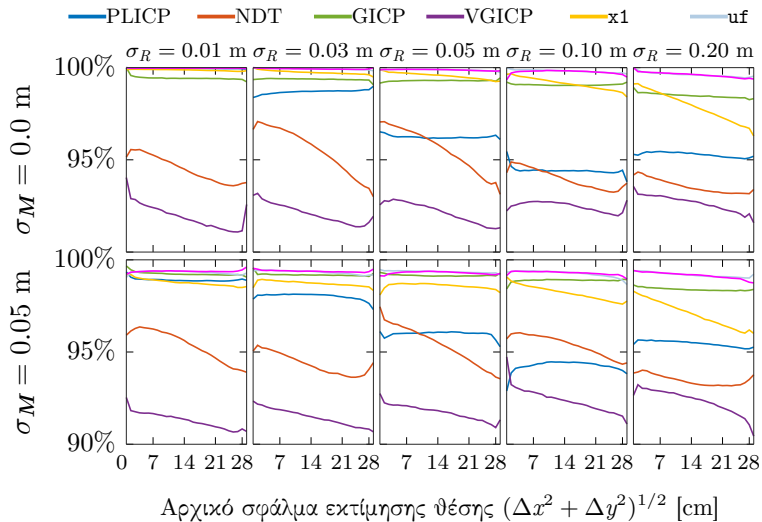


Ποσοστά επίτευξης στόχου Σ1
 ως προς θέση ανά μονάδα αρχικού σφάλματος εκτίμησης θέσης $(\Delta x^2 + \Delta y^2)^{1/2}$

— PLICP — NDT — GICP — VGICP — x1 — uf — fm



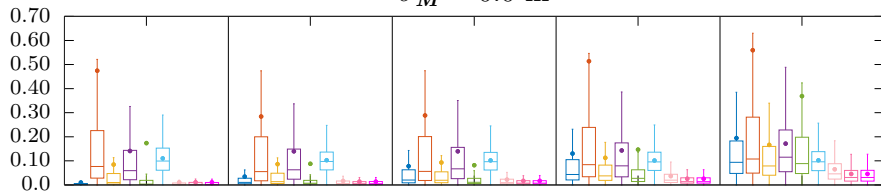
Ποσοστά επίτευξης στόχου Σ1
 ως προς προσανατολισμό ανά μονάδα αρχικού σφάλματος εκτίμησης θέσης $(\Delta x^2 + \Delta y^2)^{1/2}$



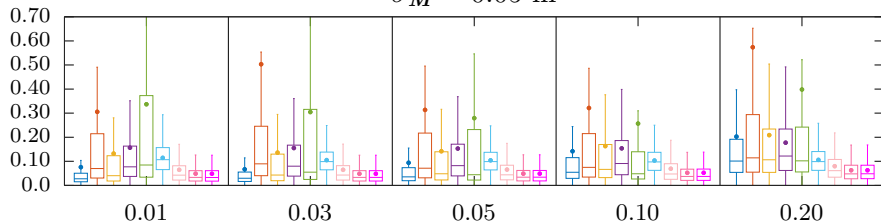
Κατανομές σφαλμάτων θέσης [m]

— PLICP — NDT — GICP — VGICP — NDT-PSO — TEASER — x1 — uf — fm

$\sigma_M = 0.0$ m



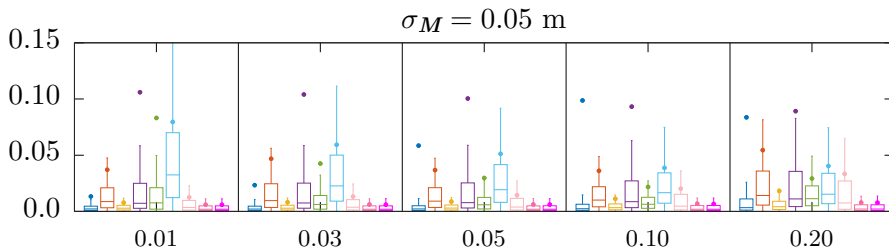
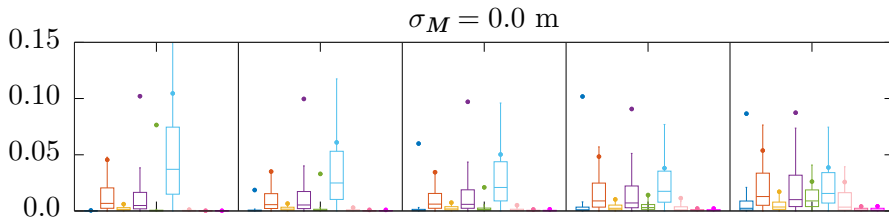
$\sigma_M = 0.05$ m



Τυπική απόκλιση διαταραχών σ_R [m]

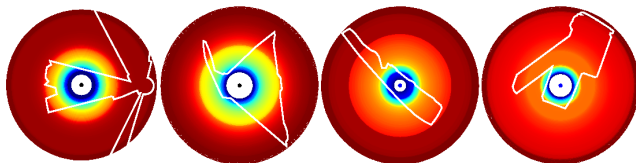
Κατανομές σφαλμάτων προσανατολισμού [rad]

— PLICP — NDT — GICP — VGICP — NDT-PSO — TEASER — x1 — uf — fm

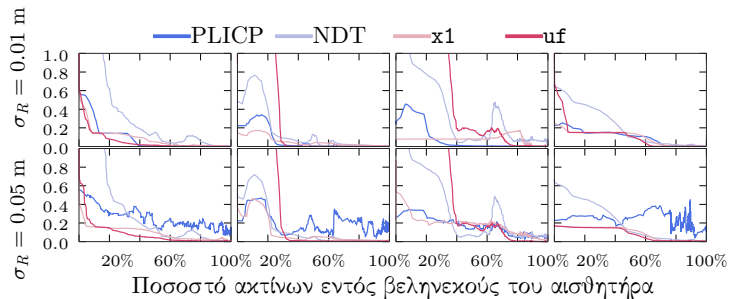


Τυπική απόκλιση διαταραχών σ_R [m]

Σφάλμα εκτίμησης στάσης υπό περιορισμούς βεληνικούς



Χρωματική αναπαράσταση ποσοστού ακτίνων εντός βεληνικού του αισθητήρα



Τι ήταν προηγουμένως αδύνατον και τώρα είναι εφικτό

Τρεις μέθοδοι ευθυγράμμισης πραγματικών με εικονικές (δισδιάστατες και πανοραμικές) σαρώσεις χωρίς τον υπολογισμό αντιστοιχίσεων: $\hat{\mathbf{p}}' \leftarrow h(\mathcal{S}_R, \mathbf{M}, \hat{\mathbf{p}})$:

Τι ήταν προηγουμένως αδύνατον και τώρα είναι εφικτό

Τρεις μέθοδοι ευθυγράμμισης πραγματικών με εικονικές (δισδιάστατες και πανοραμικές) σαρώσεις χωρίς τον υπολογισμό αντιστοιχίσεων: $\hat{\mathbf{p}}' \leftarrow h(\mathcal{S}_R, \mathbf{M}, \hat{\mathbf{p}})$:

- Εύρωστη βελτίωση ακρίβειας pose tracking (\Rightarrow navigation) σε πραγματικό χρόνο:
 $f_{\text{exec}}(\mathbf{h}) \geq f_{\text{exec}}(\mathbf{p}\mathbf{f})$

Τι ήταν προηγουμένως αδύνατον και τώρα είναι εφικτό

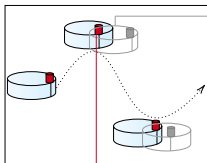
Τρεις μέθοδοι ευθυγράμμισης πραγματικών με εικονικές (δισδιάστατες και πανοραμικές) σαρώσεις χωρίς τον υπολογισμό αντιστοιχίσεων: $\hat{\mathbf{p}}' \leftarrow h(\mathcal{S}_R, \mathbf{M}, \hat{\mathbf{p}})$:

- Εύρωστη βελτίωση ακρίβειας pose tracking (\Rightarrow navigation) σε πραγματικό χρόνο:
 $f_{\text{exec}}(\mathbf{h}) \geq f_{\text{exec}}(\mathbf{p}\mathbf{f})$
- Global localisation
 - ▶ Χωρίς ad hoc παραμετροποίηση (features ή μεταβλητές)
 - ▶ Ταχύτερα από FMI-SPOMF (\Rightarrow περισσότερες υποθέσεις)

Τι ήταν προηγουμένως αδύνατον και τώρα είναι εφικτό

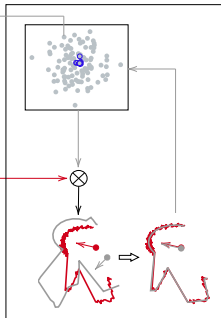
Τρεις μέθοδοι ευθυγράμμισης πραγματικών με εικονικές (δισδιάστατες και πανοραμικές) σαρώσεις χωρίς τον υπολογισμό αντιστοιχίσεων: $\hat{\mathbf{p}}' \leftarrow h(\mathcal{S}_R, \mathbf{M}, \hat{\mathbf{p}})$:

- Εύρωστη βελτίωση ακρίβειας pose tracking (\Rightarrow navigation) σε πραγματικό χρόνο:
 $f_{\text{exec}}(\mathbf{h}) \geq f_{\text{exec}}(\mathbf{p}\mathbf{f})$
- Global localisation
 - ▶ Χωρίς ad hoc παραμετροποίηση (features ή μεταβλητές)
 - ▶ Ταχύτερα από FMI-SPOMF (\Rightarrow περισσότερες υποθέσεις)
- {Αναγνώριση, ευθυγράμμιση} κλειστών (convex ή non-convex) 2D σχημάτων (π.χ. computer vision [1])



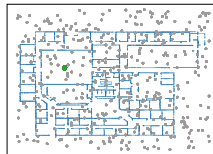
Κεφ. 3

Παρατήρηση
σφάλματων
εκτίμησης
στάσης



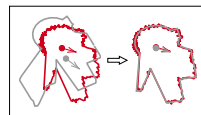
Κεφ. 4

Παρατηρήσεις
ευαισθησίας λύσης
σε παραμέτρους
και θόρυβο
λόγω αντιστοιχίσεων



Κεφ. 5

Λύσεις εκτελούμενες
σε πραγματικό χρόνο



Κεφ. 6

Γενίκευση χρήσης
ερήμην χάρτη



Κεφ. 7

Μετά το sm2 τι;

Ευθυγράμμιση sm2 δίχως αντιστοιχίσεις, υπό χρονικούς περιορισμούς

Πρόβλημα:

Κατασκευή h : sm2 χωρίς αντιστοιχίσεις, δεδομένων:

- Πραγματική σάρωση $\mathcal{S}_R(\mathbf{p})$: $\text{FOV} = 360^\circ$
 - Χάρτης \mathbf{M} του περιβάλλοντος
 - Εκτίμηση $\hat{\mathbf{p}}(\hat{\mathbf{l}}, \hat{\theta})$
 - Η εκτίμηση θέσης $\hat{\mathbf{l}} = (\hat{x}, \hat{y})$ είναι σε μία γειτονιά της $\mathbf{l} = (x, y)$
- $\rightarrow \mathcal{S}_R(\mathbf{p})$
 $\} \mathcal{S}_V(\hat{\mathbf{p}}_0)$
 $\|\hat{\mathbf{l}}_0 - \mathbf{l}\| < \delta$

τέτοιες ώστε

(Σ1) $\hat{\mathbf{p}}' \leftarrow h(\mathcal{S}_R, \mathbf{M}, \hat{\mathbf{p}})$:

$$\|\hat{\mathbf{p}}' - \mathbf{p}\| < \|\hat{\mathbf{p}} - \mathbf{p}\|$$

Εάν $\|\hat{\mathbf{l}}_N - \mathbf{l}\| \ll \delta$ τότε

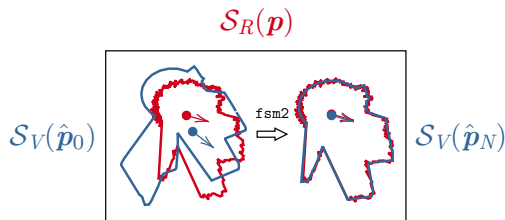
- $\|\hat{\mathbf{l}}_{0:N} - \mathbf{l}\| < \delta$
 - $\mathcal{S}_V(\hat{\mathbf{p}}_0)$ τοπική προσέγγιση \mathbf{M}
στη γειτονιά της \mathbf{p} , $\forall \hat{\mathbf{p}}_i, i = 0, 1, \dots, N$
- $\left. \vphantom{\begin{matrix} \bullet \\ \bullet \end{matrix}} \right\} \mathbf{M} \leftarrow \mathcal{S}_V(\hat{\mathbf{p}}_0) \Rightarrow h \text{ λύνει sm};$

Βαρύτητα μετατροπής fsm2 σε fsm

- sm ως μέσο sm2 \Rightarrow λύση pose tracking & global localisation
- sm ως μέσο παραγωγής οδομετρίας μέσω lidar \Rightarrow απεξάρτηση από
 - ▶ Αποκλίνουσα οδομετρία τροχών / άκρων
 - ▶ Συνθήκες τριβής ως προς επιφάνεια επαφής
- Πρώτη μέθοδος sm χωρίς υπολογισμό αντιστοιχίσεων

Προκλήσεις μετατροπής fsm2 σε fsm

- $\mathcal{S}_V(\hat{p}_0)$ ατελής προσέγγιση του χάρτη $M \Rightarrow$ απαίτηση ευρωστίας σε “κενές αντιστοιχίσεις”



- $t_{\text{exec}}^{\text{sm}} \leq \frac{1.0}{20 \text{ Hz}} = 50 \text{ ms}$ ($\bar{t}_{\text{exec},\text{min}}^{\text{fsm2}} = \bar{t}_{\text{exec}}^{\text{fm}} \simeq 100 \text{ ms}$)